

ΠΡΑΚΤΙΚΑ ΤΗΣ ΑΚΑΔΗΜΙΑΣ ΑΘΗΝΩΝ

ΣΥΝΕΔΡΙΑ ΤΗΣ 23ΗΣ ΦΕΒΡΟΥΑΡΙΟΥ 1978

ΠΡΟΕΔΡΙΑ ΜΙΧΑΗΛ ΣΤΑΣΙΝΟΠΟΥΛΟΥ

ΑΣΤΡΟΝΟΜΙΑ.— 'Η ἀτμοσφαιρική ἀπορρόφησις εἰς τὸν Ἀστρονομικὸν Σταθμὸν Κρυονερίου καὶ τὸν Ἀστρονομικὸν Σταθμὸν Πεντέλης, ὅποιοι πέτραις *Rovithis**. Ἀνεκοινώθη ὑπὸ τοῦ Ἀκαδημαϊκοῦ κ. Ἰω. Ξανθάκη.

1. ΕΙΣΑΓΩΓΗ

'Η παροῦσα ἐργασία σκοπὸν ἔχει νὰ παρουσιάσῃ προκαταρκτικὰ ἀποτελέσματα σχετικὰ με τὴν ἀτμοσφαιρικὴν ἀπορρόφησιν εἰς τοὺς δύο σταθμοὺς τοῦ Ἑθνικοῦ Ἀστεροσκοπείου Ἀθηνῶν.

Αἱ παρατηρήσεις ἔγιναν ἐκ τοῦ Ἀστρονομικοῦ Σταθμοῦ Πεντέλης καὶ τοῦ Ἀστρονομικοῦ Σταθμοῦ Κρυονερίου Κορινθίας, διὰ τῶν τηλεσκοπίων Newall (0,625 m) καὶ (1,20 m) ἀντιστοίχως (Contopoulos and Banos, 1976).

Εἰς ὅλας τὰς περιπτώσεις ἐχρησιμοποιήθη τὸ φωτόμετρον νεφελωμάτων καὶ ἀστέρων τοῦ E. A. A. (Goudis and Meaburn, 1972) καὶ φίλτρα Kodak : B (4300 Å) καὶ V (5338 Å). Ψῆξις τῶν φωτοπολλαπλασιαστῶν εἰς -82°C ἐφηρμόσθη εἰς ὅλας σχεδὸν τὰς περιπτώσεις, πλὴν ὥρισμένων ποὺ ἀφοροῦσαν εἰς τὸν λαμπρὸν ἀστέρα ε He₂.

Οἱ παρατηρηθέντες ἀστέρες καὶ τὰ στοιχεῖα των δίδονται εἰς τὸν πίνακα 1. Ἱδιαίτερα, ὁ π. He₂, ὁ ὅποῖος διέρχεται εἰς ἀπόστασιν 1° περίπου ἀπὸ τοῦ ζενίθος τοῦ Ἀστρονομικοῦ Σταθμοῦ Κρυονερίου, παρετηρήθη ἀπὸ $Z = 49^{\circ}$ τοῦ ἀνατολικοῦ ἡμισφαιρίου μέχρι $Z = 10^{\circ}$ τοῦ δυτικοῦ ἡμισφαιρίου.

* P. ROVITHIS, The Atmospheric extinction at Kryonerion and Penteli

Π Ι Ν Α Ξ 1

Οι παρατηρηθέντες αστέρες και τὰ στοιχεῖα των.

^α στηρ	α (2000)	δ (2000)	m _v	B - V	Φ. Τύπος
1 ε Her	17 ^h 00 ^m 18 ^s	+ 30° 55'	3,87	0,03	A0 V
2 59 Her	17 00 36	+ 33 34	5,25	+ 0,02	A3 III
3 π Her	17 15 03	+ 36 48	3,15	+ 1,44	K3 II
4 BD + 26° 3827	20 05 54	+ 26 19	7,59	0,08	B8
(1875)					

2. ΑΝΑΓΩΓΗ ΤΩΝ ΠΑΡΑΤΗΡΗΣΕΩΝ

Ἡ μεταβολὴ τῆς λαμπρότητος ἀστέρος λόγῳ ἀτμοσφαιρικῆς ἀπορροφήσεως ἀκολουθεῖ τὸν νόμον :

$$\Delta m = m - m_0 = kX \quad (1)$$

ὅπου m και m_0 είναι τα ἀστρικα μεγεθη ἐνὸς παρατηρουμένου ἀστερος ἐντὸς και ἐκτὸς ἀτμοσφαιρίας, ἀντιστοίχως, k δ συντελεστὴς ἀπορροφήσεως και X ἡ ἀέριος μᾶζα ἡ δοίᾳ δίδεται σὰν πολυωνυμικὴ συνάρτησις τῆς ζενιθίας ἀποστάσεως Z τοῦ ἀστέρος ὑπὸ τῆς σχέσεως :

$$X = \sec Z - 0,0018167 (\sec Z - 1) - 0,002875 (\sec Z - 1)^2 - 0,0008033 (\sec Z - 1)^3. \quad (2)$$

Εἰς πρώτην προσέγγισιν, μία ἀπλουστέρα ἐκφρασις τῆς ἀπωλείας τῆς λαμπρότητος εἰς ἀστρικὰ μεγέθη, λόγῳ παρεμβολῆς τῆς ἀτμοσφαιρίας, και διὰ $Z < 60^\circ$ δίδεται ὑπὸ τῆς προσεγγιστικῆς σχέσεως :

$$\Delta m = k \sec Z \quad (3)$$

Ἐαν αἱ παρατηρούμεναι ἀποκλίσεις ἐπὶ τοῦ καταγραφικοῦ χάρτου είναι $I(Z_1)$ και $I(Z_2)$ διὰ δύο θέσεις τοῦ παρατηρουμένου ἀστέρος εἰς τὰς δοίας αἱ ζενιθιακαὶ ἀποστάσεις είναι Z_1 και Z_2 ἀντιστοίχως, θά ἔχωμεν :

$$\Delta m = 2,5 \log \frac{I(Z_1)}{I(Z_2)} \quad (4)$$

$$\log I(Z_1) - \log I(Z_2) = 0,4 (X_2 - X_1) k \quad (5)$$

ὅπου X_1 καὶ X_2 αἱ ἀντίστοιχοι ἀέριοι μᾶζαι εἰς τὰς ἀντιστοίχους θέσεις τοῦ ἀστέρος.

$$\text{Τότε} \quad k = \frac{\Delta m}{\Delta X}. \quad (6)$$

*Ἐπομένως, δυνάμεθα νὰ δεχθῶμεν ὅτι ὁ συντελεστὴς k εἶναι ἡ αλίσις τῆς καμπύλης μεταβολῆς τοῦ Δm συναρτήσει τῆς ἀερίου μάζης X . Παριστᾶ δηλαδή, τὴν μεταβολὴν τῆς λαμπρότητος ἐνὸς σταθεροῦ κατὰ τὸ μέγεθος ἀστέρος, λόγῳ μεταβολῆς τῆς ζενιθίας ἀποστάσεώς του.

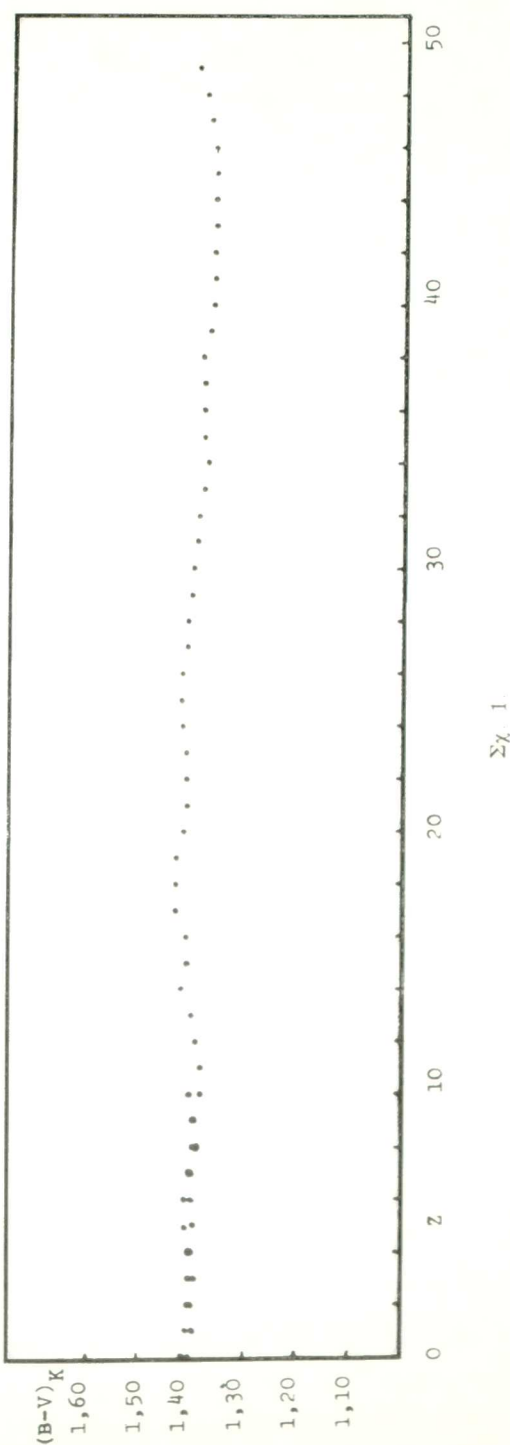
Εἰς τὴν πρᾶξιν, διὰ κάθε νύκτα παρατηρήσεως κατασκευάζεται ἐν διάγραμμα τῶν διαφορῶν Δm (λ) συναρτήσει τῆς ἀερίου μάζης καὶ εὑρίσκεται ὁ συντελεστὴς ἀπορροφήσεως k , ἐνῷ τὸ σημεῖον τοῦ Δm τῆς καμπύλης καὶ τοῦ ἄξονος τῶν μεγεθῶν δίδει τὸ ἀστρικὸν μέγεθος τοῦ ἀστέρος ἐκτὸς τῆς ἀτμοσφαίρας, ἐφ' ὅσον, βεβαίως, ἐπὶ τοῦ ἄξονος αὐτοῦ σημειώνονται καὶ τὰ μεγέθη.

*Ἡ πρακτικὴ αὐτὴ μέθοδος προτείνεται ὑπὸ τοῦ R. H. Hardie (1962) προκειμένου νὰ ἔξετασθῇ μόνον ὁ k καὶ εἰς πρώτην προσέγγισιν. Τότε δὲν εἶναι ἀπαραίτητα τὰ μεγέθη, ἀλλὰ μόνον αἱ διαφοραὶ μεγεθῶν ὅπως προκύπτουν ἀπὸ τὰς μετρήσεις ἐκ τοῦ καταγραφικοῦ χάρτου.

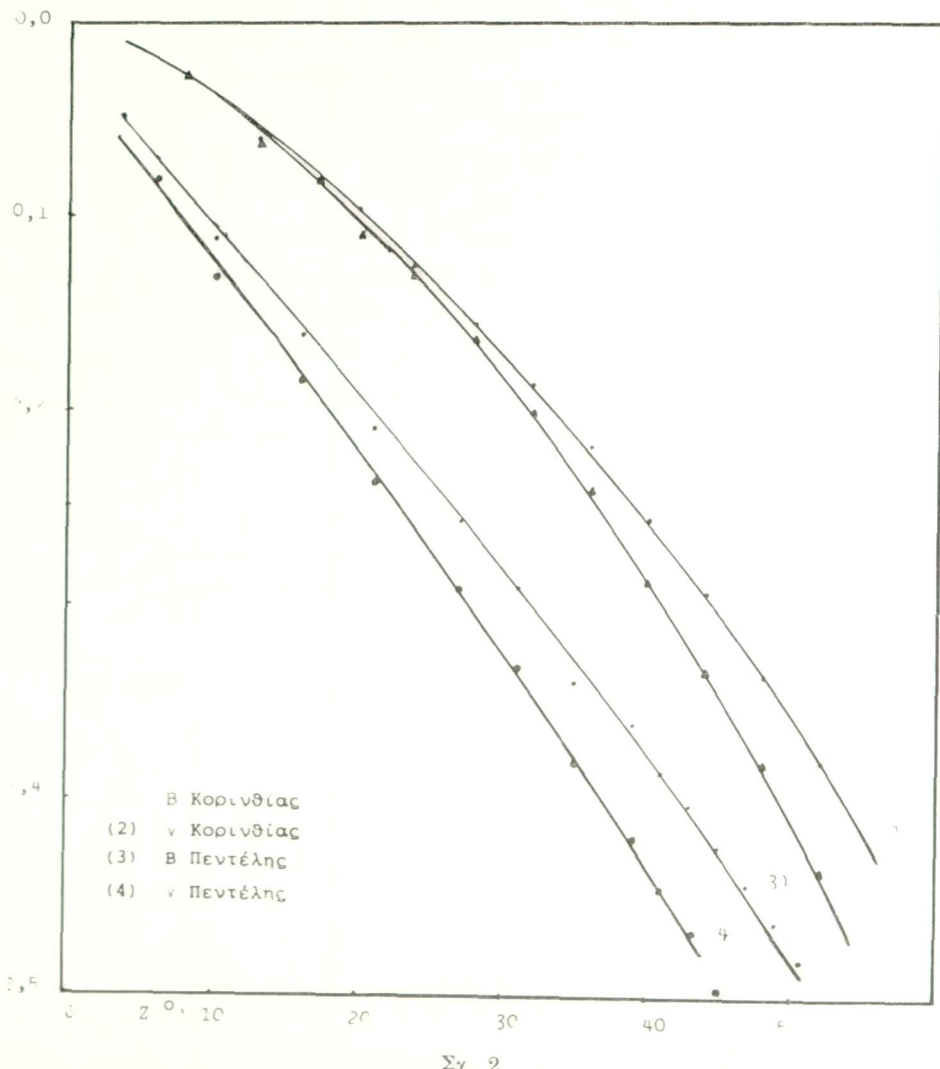
Π Ι Ν Α Ξ 2

Οἱ συντελεσταὶ k_B καὶ k_V δι' ἔνδεκα νύκτας παρατηρήσεως εἰς τὸν Ἀστρονομικὸν Σταθμὸν Κρυονερίου.

Nº	k_B	k_V
1	0,42	0,26
2	0,67	0,30
3	0,50	0,45
4	0,64	0,54
5	0,55	0,47
6	0,53	0,33
7	0,70	0,61
8	0,74	0,63
9	0,65	0,63
10	0,65	0,55
11	0,48	0,45
Μέσος ὄρος	0,59	0,47



Ἐνδεικτικὰς τιμὰς τοῦ συντελεστοῦ k , αἱ ὅποιαι προέκυψαν ἀπὸ φωτοηλεκ-
τρικὰς παρατηρήσεις διὰ τοῦ φωτομέτρου νεφελωμάτων καὶ ἀστέρων τοῦ Ε. Α. Α.
προσημοσμένου ἐπὶ τοῦ τηλεσκοπίου 1,20 m τοῦ Ἀστρονομικοῦ Σταθμοῦ Κρυ-
νερίου Κορινθίας, δίδει ὁ πίναξ 2.

 $\Sigma\chi~2$

Τα ἀντίστοιχα ἀποτελεσματα ἀπὸ μετρησεις εἰς τον Ἀστρονομικον Σταθμόν
Πεντέλης παρουσιάζουν σημαντικὴν διασποράν.

τήσιει τῆς ζενιθίας ἀποστάσεως ὅπως ἔξαγεται ἀπὸ μετρήσεις ἐκ τοῦ Ἀστρονομικοῦ Σταθμοῦ Κρυονερίου καὶ τοῦ Ἀστρονομικοῦ Σταθμοῦ Πεντέλης. Σημειώνομεν ὅτι αἱ καμπύλαι αἱ δποῖαι ἀντιστοιχοῦν εἰς παρατηρήσεις ἀπὸ τὴν Κορινθίαν παρουσιάζουν μικροτέραν διασπορὰν ἀπὸ ἑκείνας αἱ δποῖαι ἀντιστοιχοῦν εἰς παρατηρήσεις ἀπὸ τὴν Πεντέλην.

Ίδιαίτερον ἐνδιαφέρον διὰ τὸν παρατηρητὴν παρουσιάζει ἡ μεταβολὴ τοῦ δείκτου χρώματος τοῦ ἀστέρος, ὅπως ἔξαγεται ἀπὸ τὰς παρατηρήσεις. Ἡ σταθερότης τῆς ποσότητος αὐτῆς ἀποτελεῖ στοιχεῖον καλῆς ποιότητος παρατηρήσεων. Τὸ σχῆμα 2 παρουσιάζει τὸν ἐκ τῶν παρατηρήσεων μας δείκτην χρώματος (B - V) Κορ. διὰ τὸν π Her ἀπὸ παρατηρήσεις ἐκ τοῦ Ἀστρονομικοῦ Σταθμοῦ Κρυονερίου. Εἶναι δὲ χαρακτηριστικὴ ἡ σταθερότης τῆς ποσότητος αὐτῆς συναρτήσει τῆς ζενιθίας ἀποστάσεως.

Τέλος ἀπὸ τὰ ὑπάρχοντα δεδομένα παρατηρήσεων ἔγινε στατιστική, ἀπὸ τὴν ὁποίαν ἔξαγεται τὸ συμπέρασμα ὅτι, τὸ ποσοστὸν τῶν νυκτῶν αἱ δποῖαι εἶναι κατάλληλοι διὰ φωτομετρικὴν παρατήρησιν, ὡς πρὸς τὸ πλῆθος τῶν νυκτῶν αἱ δποῖαι ἀπὸ μετεωρολογικῆς ἀπόψεως εἶναι κατάλληλοι διὰ τὴν παρατήρησιν, διὰ τοὺς δύο σταθμοὺς εἶναι 86% διὰ τὴν Κορινθίαν καὶ 79% διὰ τὴν Πεντέλην

S U M M A R Y

The aim of the present study is to give the preliminary results on the atmospheric extinction at the Astronomical stations of Kryonerion and Pentele of the National Observatory of Athens

The observations were made by the two-beam, multimode, nebular-stellar photometer (Goudis and Meaburn, 1973) using the Kodak filters B (4300 Å) and V (5338 Å).

Table 1 gives the standard stars used, while Table 2 represents the indicative values of the extinction coefficients at B and V (k_B and k_V), for the Kryonerion station. The corresponding results for the Pentele station represent significant scattering

Figure 1 represents the changes in brightness against zenith distance of ϵ Her for the two stations. Figure 2 gives the change of colour index (B - V) Kor. as it comes out from our observations of π Her at the Kryonerion Station

ΒΙΒΛΙΟΓΡΑΦΙΑ

1. G. Contopoulos and C. Banos, The New Greek 48-inch Cassegrain - Coude Telescope. *Sky and Telescope*, 51, 154, 1976.
2. C. Goudis and J. Meaburn, A. two-beam, multi-mode, Nebular-Stellar Photometer, *Astrophys. Space Sci.* 20, 149, 1973.
3. R. Hardie, In W. A. Hiltner (Ed.) *Astronomical Techniques*, Vol. II, P. 178, Chicago: Univ. of Chicago Press, 1962.
4. M. Kitamura and I. Nakamura, A Photoelectric Study of the Atmospheric Extinction at Tokyo Astronomical Observatory. *Ann. Tokyo Astr. Obs.*, Vol. III, 179, 1950.
5. K. Xασάπης, 'Η διαφάνεια τῆς ἀτμοσφαίρας εἰς τὸν Ἀστρονομικὸν Σταθμὸν Πεντέλης, 'Αθῆναι 1957.